

5 FORMULAÇÃO DO PROBLEMA DE CONTATO COM ATRITO

5.1 Formulação Continua do Problema de Contato

5.1.1 Notação

Neste trabalho será utilizadas a formulação e notação para o problema de contato desenvolvido por Laursen^{48,50} & Simo e Laursen⁴⁹. Considerando dois corpos deformáveis definidos por \mathbf{B}^i , $i = 1, 2$ e suas configurações iniciais por Ω^1 , $\Omega^2 \subset \mathfrak{R}^3$. Estabelece-se que os corpos não estão em contato no tempo $t = 0$ (configuração de referência), ou se estão em contato nenhuma força de contato é produzida. Configurações subsequentes são dadas por $\varphi^{(1)} : \Omega^{(1)} \times [0, T]$ no \mathfrak{R}^3 para Ω^1 e $\varphi^{(2)} : \Omega^{(2)} \times [0, T]$ para Ω^2 . Devido ao contato físico dos dois corpos surgem forças de interação durante o intervalo de tempo $t := [0, T]$. Define-se qualquer uma dessas configurações no tempo t como φ_t^i , $i = 1, 2$. A extensão para problemas que envolvem mais corpos é feita levando em conta cada pares de corpos em contato. Formulações de autocontato (o corpo em contato com ele mesmo) são feitas similarmente.

As superfícies dos contornos dos corpos $\partial\Omega^1$ e $\partial\Omega^2$ são representadas por $\Gamma^{(1)}$ e $\Gamma^{(2)}$ respectivamente, de tal forma que os pontos onde o contato pode ocorrer são incluídos (ver Fig. 5-1). As posições correntes das superfícies são dadas por $\gamma^{(i)} = \varphi_t^{(i)}(\Gamma^{(i)})$, $i = 1, 2$.

Na configuração inicial, os pontos de $\Gamma^{(1)}$ são representados por \mathbf{X} e os pontos de $\Gamma^{(2)}$ por \mathbf{Y} e na configuração corrente por $\mathbf{x} = \varphi_t^{(1)}(\mathbf{X})$ e $\mathbf{y} = \varphi_t^{(2)}(\mathbf{Y})$, respectivamente.

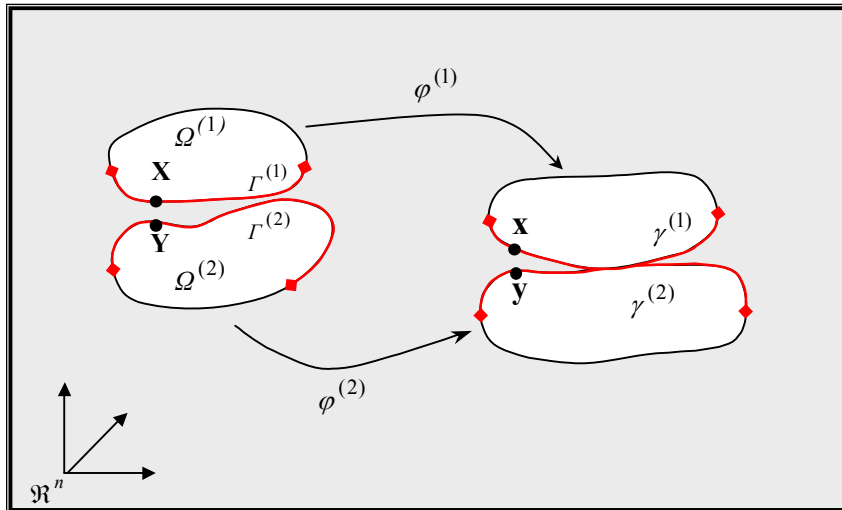


Figura 5.1 – Notação das deformações finitas do Problema de Contato com atrito

5.1.2 Restrições de contato normal

A superfície de contorno $\Gamma^{(1)}$ é designada como superfície escrava (“slave”) e $\Gamma^{(2)}$ como superfície mestre (“master”). Para uma dada configuração, $\gamma^{(2)} = \varphi_t^{(2)}(\Gamma^{(2)})$ define-se uma superfície na qual nenhum dos pontos do material $\mathbf{X} \in \Gamma^{(1)}$ pode penetrar. Da mesma maneira, pode ser feita a restrição nos pontos $\mathbf{Y} \in \Gamma^{(2)}$ com relação a $\Gamma^{(1)}$.

5.1.2.1 Restrições de contato normal (impenetrabilidade)

A restrição de impenetrabilidade é formulada através da função de folga (“gap”), definida por um par de movimentos $\varphi^{(1)}(\cdot, t)$, $\varphi^{(2)}(\cdot, t)$ e para todos os pontos $\mathbf{X} \in \Gamma^{(1)}$, como a seguir:

$$g(\mathbf{X}, t) = \text{sign}(g(\mathbf{X}, t)) |g(\mathbf{X}, t)|$$

$$|g(\mathbf{X}, t)| = \min_{\mathbf{Y} \in \Gamma^{(2)}} \|\varphi^{(1)}(\mathbf{X}, t) - \varphi^{(2)}(\mathbf{Y}, t)\|$$

onde: $\text{sign}(g(\mathbf{X}, t)) = -1$ se $\varphi^{(1)}(\mathbf{X}, t)$ é admissível

$$\text{sign}(g(\mathbf{X}, t)) = +1, \text{ caso contrário} \tag{5.1}$$

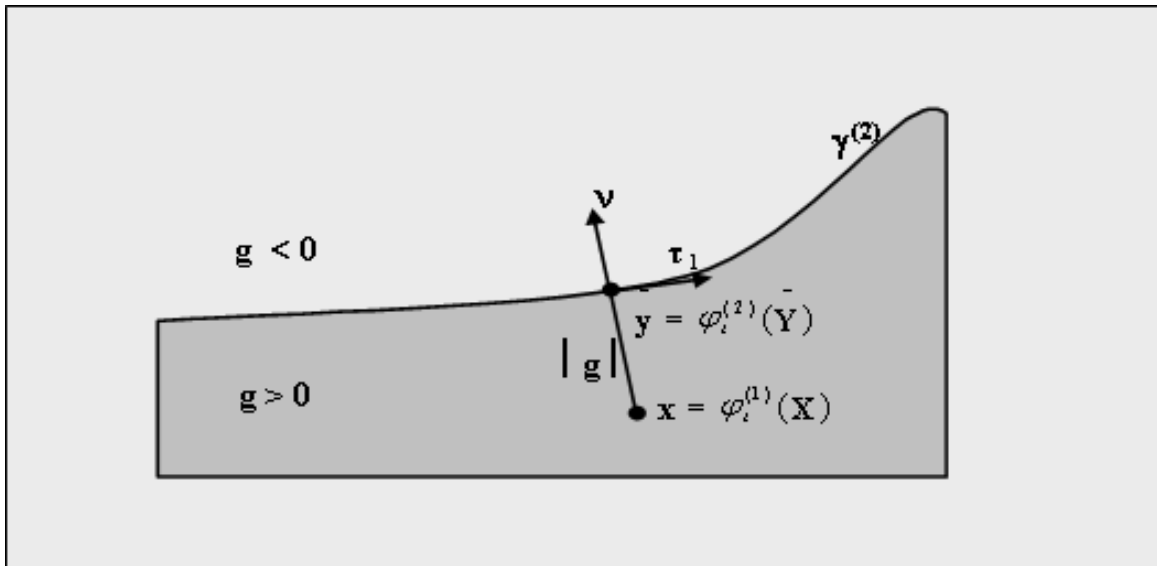


Figura 5.2 – Definição da função de folga (“gap”)

A definição de $g(\mathbf{X}, t)$ é dada em termos da projeção do ponto de $\mathbf{x} = \varphi_i^{(1)}(\mathbf{X})$ em $\gamma^{(2)}$ (ver Fig. 5-2). A restrição de impenetrabilidade é formulada matematicamente como $g(\mathbf{X}, t) \leq 0$. As condições de complementaridade estão associadas à força superficial de contato $\mathbf{t}^{(1)}(\mathbf{X}, t) = \mathbf{P}^{(1)}(\mathbf{X}, t) \cdot \mathbf{n}_o^{(1)}(\mathbf{X})$, onde $\mathbf{P}^{(1)}(\mathbf{X}, t)$ é o primeiro tensor de Piola-Kirchhoff em \mathbf{X} e $\mathbf{n}_o^{(1)}(\mathbf{X})$ é a normal a \mathbf{X} na configuração de referência. Esta força superficial é dada por:

$$\mathbf{t}^{(1)}(\mathbf{X}, t) = t_N(\mathbf{X}, t)\mathbf{v} + P_v \boldsymbol{\tau}^{(1)}(\mathbf{X}, t) \quad (5.2)$$

onde \mathbf{v} (negativa) é a normal externa a $\gamma^{(1)}$ em $\mathbf{x} = \varphi_i^{(1)}(\mathbf{X})$ e $P_v \boldsymbol{\tau}^{(1)}$ é a projeção de $\boldsymbol{\tau}^{(1)}$ no plano tangente associado. A parcela $t_N(\mathbf{X}, t)$, representa a pressão de contato em \mathbf{X} . As restrições para contato normal são especificadas como:

$$g(\mathbf{X}, t) \leq 0 \quad (5.3a)$$

$$t_N(\mathbf{X}, t) \geq 0 \quad (5.3b)$$

$$t_N(\mathbf{X}, t)g(\mathbf{X}, t) = 0 \quad (5.3c)$$

$$t_N(\mathbf{X}, t)\dot{g}(\mathbf{X}, t) = 0 \quad (5.3d)$$

As expressões acima (5.3) representam a restrição de impenetrabilidade, a restrição da força de contato em \mathbf{X} ser sempre não negativa (pressão); a condição de complementaridade que admite que a pressão de contato $t_N(\mathbf{X}, t)$ seja diferente

de zero somente se a folga (“gap”) for igual a zero ($g = 0$) e a condição de persistência que é usada quando considerado o atrito cinemático.

5.1.3 Contato com atrito

5.1.3.1 Conversão de base

A restrição de impenetrabilidade introduz a idéia da geometria da estrutura influenciar na definição da restrição g . Este fato é utilizado para a definição de uma base tangente associada, conveniente para definir as restrições de atrito

Parametrizações para $\Gamma^{(i)}$ e $\gamma^{(i)}$, $i = 1, 2$ são adotadas, para o corpo (2) como mostrado na Fig. 5-3. Define-se $A \in \mathfrak{R}^{n-1}$ e uma serie de mapeamentos $\Psi_t^{(i)}$, indexados pelo tempo t , assim $\Psi_t^{(i)} : A^{(i)} \rightarrow \mathfrak{R}^{n-1}$, $i = 1, 2$. Em particular, tem-se: $\Gamma^{(i)} = \Psi_0^{(i)}(A^{(i)})$, $\gamma^{(i)} = \Psi_t^{(i)}(A^{(i)})$ e $\Psi_t^{(i)} = \phi_t^{(i)0} \Psi_0^{(i)}$. Assume-se que estas parametrizações são suficientemente suaves assim todas as derivadas necessárias podem ser obtidas^{48,49,50}.

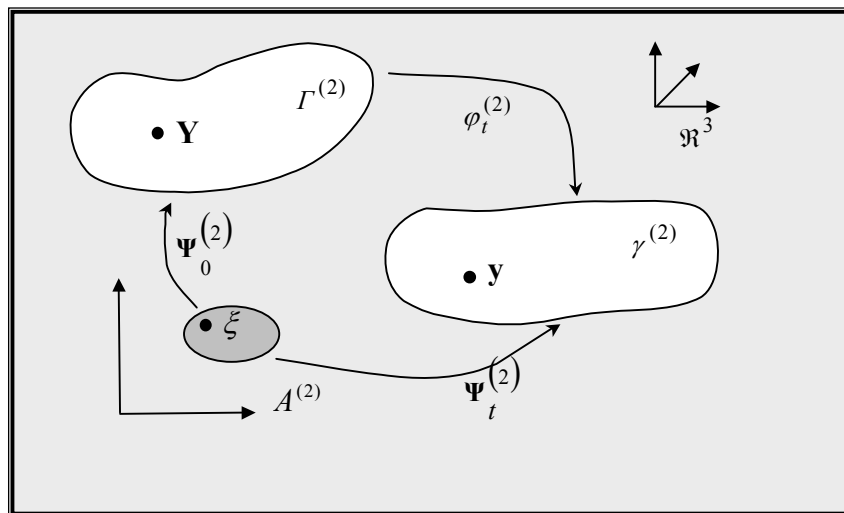


Figura 5.3 – Parametrizações das superfícies de contato $\Gamma^{(2)}$ e $\gamma^{(2)}$

No caso tridimensional, um ponto $\xi \in A^{(2)}$ é dado por $\xi = (\xi^1, \xi^2)$. Bases para $\Gamma^{(2)}$ e $\gamma^{(2)}$ são convenientemente definidas pelas derivadas parciais em relação a estas variáveis:

$$\mathbf{E}_\alpha(\xi) = \Psi_{0,\alpha}^{(2)}(\xi) \quad (5.4)$$

$$\mathbf{e}_\alpha(\xi) = \Psi_{t,\alpha}^{(2)}(\xi) = \mathbf{F}_t^{(2)}(\Psi_0^{(2)}(\xi))\mathbf{E}_\alpha(\xi), \quad \alpha = 1,2 \quad (5.5)$$

onde $\mathbf{F}_t^{(2)}$ é o gradiente de deformação correspondente a $\varphi^{(2)}$. As expressões da forma $(\cdot)_{,\alpha}$ representam derivadas em relação a ξ^α .

Para qualquer ponto $\mathbf{X} \in \Gamma^{(1)}$ é designado um ponto $\mathbf{Y} \in \Gamma^{(2)}$ que com a minimização obtém-se $\bar{\mathbf{Y}}$. Pontos correspondentes nos domínios espacial (na configuração corrente) e paramétrico são dados por $\bar{\mathbf{y}}$ e $\bar{\xi}$ e obtém-se as relações a seguir:

$$\bar{\mathbf{Y}} = (\mathbf{X}, t) = \Psi_0^{(2)}(\bar{\xi}(\mathbf{X}, t)) \quad (5.6)$$

$$\bar{\mathbf{y}} = (\mathbf{X}, t) = \Psi_t^{(2)}(\bar{\xi}(\mathbf{X}, t)) \quad (5.7)$$

A identificação de $\bar{\xi}$ para um ponto \mathbf{X} depende do movimento de ambos os corpos. Portanto, o objetivo é parametrizar as restrições pelos pontos $\mathbf{X} \in \Gamma^{(1)}$; a projeção envolvida nesta caracterização é considerada implícita.

5.1.3.2 Particularização das bases

A particularização das bases para o ponto $\bar{\xi}$ é dada por:

$$\mathbf{T}_\alpha = \mathbf{E}_\alpha(\bar{\xi}) \quad (5.8)$$

$$\mathbf{t}_\alpha = \mathbf{e}_\alpha(\bar{\xi}), \quad \alpha = 1,2 \quad (5.9)$$

Nas equações acima as dependências de \mathbf{T}_α e \mathbf{t}_α em relação a \mathbf{X} e t são omitidas, embora exista a identificação de $\bar{\xi}(\mathbf{X}, t)$. Os vetores tangentes \mathbf{T}_α e

\mathbf{t}_α de fato descrevem uma base que mostra como o ponto \mathbf{X} se move em relação a $\Gamma^{(2)}$. O vetor normal no âmbito espacial é dado por:

$$\mathbf{v} := \frac{\mathbf{t}_1 \times \mathbf{t}_2}{\|\mathbf{t}_1 \times \mathbf{t}_2\|} \quad (5.10)$$

A orientação da superfície $\gamma^{(2)}$ é importante, uma vez que adota-se que as parametrizações $(\Psi_0^{(2)})$ e $(\Psi_t^{(2)})$ são tais que a expressão da normal é a da normal externa ao corpo (2), como mostrado na Fig. 5-2.

5.1.3.3 Cinemática do atrito

A condição de persistência na resposta de contato, requer que a derivada da folga em relação ao tempo seja igual a zero ($\dot{g} = 0$) quando a força de contato é diferente de zero. Esta condição tem importantes implicações para a cinemática do atrito. Se $\dot{g}(\mathbf{X}, t) = 0$, então teremos que a taxa de variação, no tempo, do vetor de posição relativa entre $\mathbf{x} = \varphi^{(1)}(\mathbf{X}, t)$ e $\mathbf{y} = \varphi^{(2)}(\bar{\mathbf{Y}}(\mathbf{X}, t), t)$ tem que ser igual a zero; isto é:

$$\frac{d}{dt} \left[\varphi^{(1)}(\mathbf{X}, t) - \varphi^{(2)}(\bar{\mathbf{Y}}(\mathbf{X}, t), t) \right] = 0 \quad (5.11)$$

Resolvendo esta derivada no tempo, aplicando a regra da cadeia, obtém-se uma importante expressão da velocidade relativa do material em \mathbf{X} :

$$\mathbf{V}^{(1)}(\mathbf{X}, t) - \mathbf{V}^{(2)}(\bar{\mathbf{Y}}(\mathbf{X}, t), t) = \mathbf{F}_t^{(2)} \left(\Psi_0^{(2)} \left(\bar{\xi} \right) \right) \frac{d}{dt} \left[\bar{\mathbf{Y}}(\mathbf{X}, t) \right] \quad (5.12)$$

Na expressão acima, o lado esquerdo da equação representa a diferença entre as velocidades do material nos pontos \mathbf{X} e $\bar{\mathbf{Y}}$, e fisicamente representa a razão de deslizamento de \mathbf{X} em relação à superfície adjacente $\gamma^{(2)} = \varphi_t^{(2)}(\Gamma^{(2)})$. O lado direito da equação define a geometria que é muito usada quando definida a evolução das leis de atrito:

$$V_T(\mathbf{X}, t) := \frac{d}{dt} \left[\bar{\mathbf{Y}}(\mathbf{X}, t) \right] = \dot{\xi}^\alpha(\mathbf{X}, t) \Gamma_\alpha \quad (5.13)$$

Matematicamente, $V_T(\mathbf{X}, t)$ representa a velocidade tangencial relativa. A velocidade tangente relativa não tem componente normal, considerando que foi adotado, como ponto de partida, que a derivada da folga em relação ao tempo é igual a zero ($\dot{g} = 0$).

$$\mathbf{T}^\beta \cdot \mathbf{T}_\alpha = \delta_\alpha^\beta \quad (5.14)$$

onde \mathbf{T}_α é a base co-variante ou tangente e \mathbf{T}^β é a base contra-variante. Esta relação é igualmente definida na configuração corrente como: $\mathbf{t}^\beta \mathbf{t}_\alpha = \delta_\alpha^\beta$

A métrica também pode ser expressa como:

$$M_{\alpha\beta} = \mathbf{T}_\alpha \cdot \mathbf{T}_\beta \quad (5.15)$$

A métrica na configuração corrente é similarmente construída: $m_{\alpha\beta} = \mathbf{t}_\alpha \cdot \mathbf{t}_\beta$.

A inversa das métricas $M^{\alpha\beta}$ e $m^{\alpha\beta}$ são definidas de maneira similar.

Considerando que a velocidade relativa \mathbf{V}_T pode ser expressa na base dual, na configuração corrente, $\mathbf{v}_T^b(\mathbf{X}, t)$ obtém-se:

$$\mathbf{v}_T^b(\mathbf{X}, t) = M_{\alpha\beta} \dot{\xi}^\beta(\mathbf{X}, t) \mathbf{t}^\alpha \quad (5.16)$$

A força superficial de atrito também pode ser expressa na base dual:

$$\mathbf{t}_T^b(\mathbf{X}, t) := -P_v \mathbf{t}^{(1)}(\mathbf{X}, t) := t_{T\alpha}(\mathbf{X}, t) \mathbf{t}^\alpha \quad (5.17)$$

Usando-se estas definições na velocidade de deslizamento e na força superficial, tem-se a formulação de atrito de Coulomb como a seguir:

$$\Phi := \|\mathbf{t}_T^b\| - \mu t_N \leq 0 \quad (5.18a)$$

$$\mathbf{v}_T^b - \zeta \frac{\mathbf{t}_T^b}{\|\mathbf{t}_T^b\|} = 0 \quad (5.18b)$$

$$\zeta \geq 0 \quad (5.18c)$$

$$\Phi \zeta = 0 \quad (5.18d)$$

Na formulação de atrito acima, nenhuma distinção é feita entre os coeficientes de atrito estático e cinemático, e não é considerada a evolução do coeficiente de atrito μ , isto é, não são considerados os efeitos de endurecimento (“hardening”) e/ou amolecimento (“softening”).

5.1.4 Método da Penalidade

5.1.4.1 Restrições de regularização

A solução de problemas de contorno sujeitos a restrições tais como as condições de Kuhn-Tucker para o contato normal e as leis de atrito de Coulomb, consiste em encontrar uma solução dentro de um espaço restrito. O uso da formulação fraca destes problemas induz limitações nas variações admissíveis impostas pelas restrições físicas. É possível superar estas limitações através do uso dos Multiplicadores de Lagrange, mas resulta em um aumento das equações e variáveis do problema. O método da Penalidade remove este aumento de graus de liberdade do problema e faz cumprir as restrições de contato de forma aproximada através do emprego do parâmetro da penalidade. A vantagem deste método está na sua simplicidade e fácil implementação em elementos finitos. Além disso, se o parâmetro de penalidade é escolhido adequadamente, resultados bastante satisfatórios são obtidos. A introdução destas técnicas faz com que os algoritmos empregados para a solução de problemas com atrito sejam análogos aos algoritmos para resolver problemas elasto-plásticos.

A penalização das condições de Kuhn-Tucker para contato normal é efetuada através da introdução da *penalidade normal* ε_N através de:

$$t_N = \varepsilon_N \langle g \rangle \quad (5.19)$$

onde $\langle \cdot \rangle$ representa a parte positiva do operando (colchete de Macauley). A penalização torna-se exata quando $\varepsilon_N \rightarrow \infty$.

Definindo a *penalidade tangencial* ε_T , a regularização para a resposta do atrito pode ser expressa como a seguir:

$$\Phi := \|\mathbf{t}_T^b\| - \mu t_N \leq 0 \quad (5.20a)$$

$$\mathbf{v}_T^b - \zeta \frac{\mathbf{t}_T^b}{\|\mathbf{t}_T^b\|} = \frac{1}{\varepsilon_T} L_v \mathbf{t}_T^b \quad (5.20b)$$

$$\zeta \geq 0 \quad (5.20c)$$

$$\Phi \zeta = 0 \quad (5.20d)$$

onde:

$$L_v \mathbf{t}_T^b := \dot{t}_{T_\alpha} \mathbf{t}^\alpha \quad (5.21)$$

A única diferença devida a penalização está na segunda equação, onde no lado direito, o zero foi substituído pela penalização da derivada no tempo (derivada de Lie) $L_v \mathbf{t}_T^b$. A regularização somente torna-se exata quando $\varepsilon_T \rightarrow \infty$, no caso que a taxa de deslizamento $\zeta \frac{\mathbf{t}_T^b}{\|\mathbf{t}_T^b\|}$ é forçada a ser igual que à velocidade relativa \mathbf{v}_T^b . Estas equações são adequadas para a incorporação no Princípio dos Trabalhos Virtuais e para a posterior implementação no Método dos Elementos Finitos.

5.1.5 Algoritmos para mapeamento de retorno do atrito

Considerando um conjunto de sub-intervalos $U_{n=0}^N[t_n, t_{n+1}]$, para resolver um problema de valor de contorno de forma incremental, inicia-se cada passo com um estado t_n conhecido, que integra-se no tempo para se obter o estado t_{n+1} . Existe uma série de algoritmos para resolver estes problemas, sendo que a maioria deles avalia o trabalho virtual interno e de contato em diferentes instantes $t_{n+\alpha}$, onde $\alpha \in [0,1]$. Neste trabalho utiliza-se o algoritmo explícito de Euler, ou seja adota-se $\alpha = 1$. Nesse algoritmo o trabalho virtual de contato e a sua linearização são calculados no instante $n+1$, sendo que todos os dados em n são conhecidos. Aplicando o algoritmo de Euler diretamente às equações (5.20), e utilizando as

expressões (5.16), (5.17) e substituindo nelas os termos: $\bar{\xi} = \bar{\xi}_{n+1}^\beta - \bar{\xi}_n^\beta$ e $\dot{t}_{T_n} = t_{T_{n+1}} - t_{T_n}$, obtém-se:

$$\Phi_{n+1} := \|\mathbf{t}_{T_{n+1}}^b\| - \mu t_{N_{n+1}} \leq 0 \quad (5.22a)$$

$$t_{T_{n+1\alpha}} = t_{T_{n\alpha}} + \varepsilon_T \left\{ M_{\alpha\beta} \left[\bar{\xi}_{n+1}^\beta - \bar{\xi}_n^\beta \right] - \zeta \frac{t_{T_{n+1\alpha}}}{\|\mathbf{t}_{T_{n+1}}^b\|} \right\} \quad (5.22b)$$

$$\zeta \geq 0 \quad (5.22c)$$

$$\Phi_{n+1} \zeta = 0 \quad (5.22d)$$

A atualização das tensões (incluindo o atrito) é obtida considerando o gap normal g_{n+1} (necessário para obter $t_{N_{n+1}}$) e o gap tangencial $\xi_{n+1}^{\bar{\beta}} - \xi_n^{\bar{\beta}}$. O problema é resolvido pela introdução de um estado preditor e de um mapeamento de retorno, como utilizado em certos algoritmos na integração das equações elasto-plásticas. Inicialmente considera-se um estado preditor:

$$t_{N_{n+1}} = \varepsilon_N \langle \mathbf{g}_{n+1} \rangle \quad (5.23a)$$

$$t_{T_{n\alpha}}^{trial} = t_{T_{n\alpha}} + \varepsilon_N M_{\alpha\beta} \left[\xi_{n+1}^{\bar{\beta}} - \xi_n^{\bar{\beta}} \right] \quad (5.23b)$$

$$\Phi_{n+1}^{trial} := \left\| \mathbf{t}_{T_{n+1}}^{b^{trial}} \right\| - \mu t_{N_{n+1}} \leq 0 \quad (5.23c)$$

seguido de uma verificação da condição de deslizamento:

$$t_{T_{n+1\alpha}} = t_{T_{n+1\alpha}}^{trial} \text{ se } \Phi_{n+1}^{trial} \leq 0 \text{ (aderência)} \quad (5.24a)$$

$$t_{T_{n+1\alpha}} = \mu t_{N_{n+1}} \frac{t_{T_{n+1\alpha}}^{trial}}{\left\| \mathbf{t}_{T_{n+1}}^{b^{trial}} \right\|}, \text{ caso contrário (deslizamento)} \quad (5.24b)$$

As derivadas $\Delta t_{T_{n+1\alpha}}$ podem ser obtidas das equações (5.23) e (5.24). Para a situação de aderência:

$$\Delta t_{T_{n+1\alpha}} = \Delta t_{T_{n+1\alpha}}^{trial} := \varepsilon_T \left[M_{\alpha\beta} \Delta \xi^{\bar{\beta}} + M_{\alpha\beta,\gamma} \Delta \xi^{\bar{\gamma}} \left(\xi_{n+1}^{\bar{\beta}} - \xi_n^{\bar{\beta}} \right) \right] \quad (5.25a)$$

De forma semelhante, para o caso de deslizamento:

$$\Delta t_{T_{n+1\alpha}} = \mu \varepsilon_N H(g) p_{T_\alpha} \Delta g + \frac{\mu t_{N_{n+1}}}{\left\| \mathbf{t}_{T_{n+1}}^{b^{trial}} \right\|} \Delta t_{T_{n+1\beta}} \left[\delta_\alpha^\beta - p_T^\beta p_{T_\alpha} \right] + \mu t_{N_{n+1}} \mathbf{p}_T \cdot \left[\mathbf{u}_{,\beta}^{(2)h} \left(\bar{\xi} \right) + \mathbf{e}_{\beta,\gamma} \left(\bar{\xi} \right) \Delta \xi^{\bar{\gamma}} \right] p_T^\beta p_{T_\alpha} \quad (5.25b)$$

onde: $p_T = \frac{t_{T_{n+1\alpha}}^{b^{trial}}}{\left\| \mathbf{t}_{T_{n+1}}^{b^{trial}} \right\|}$. As não-linearidades ainda presentes após a operação de

linearização do trabalho virtual estão associadas ao termo: $\Delta t_{T_{n+1\alpha}} \delta \xi^{\bar{\alpha}}$ (rigidez direta do atrito).

5.1.6 Formulação Variacional do Problema de Contato

Usando as notações da seção 5.1.1, as equações de equilíbrio e as condições de contorno, para cada corpo e considerando uma resposta quase-estática, são dadas a seguir:

$$DIV \mathbf{P}_t^{(i)} + \mathbf{f}_t^{(i)} = 0 \quad \text{em } \Omega^{(i)} \quad (5.26a)$$

$$\mathbf{P}_t^{(i)} \mathbf{n}_0^{(i)} = \bar{\mathbf{t}}_t^{(i)} \quad \text{em } \Gamma_\sigma^{(i)} \quad (5.26b)$$

$$\varphi_t^{(i)} = \bar{\varphi}_t^{(i)} \quad \text{em } \Gamma_\varphi^{(i)} \quad (5.26c)$$

onde: $\mathbf{P}_t^{(i)}$ o primeiro tensor de tensão Piola-Kirchhoff no corpo (i), no tempo t ; $\mathbf{f}_t^{(i)}$ a força prescrita no corpo (i), no tempo t ; $\mathbf{n}_0^{(i)}$ a normal externa na configuração de referência, para o corpo (i); $\Gamma_\sigma^{(i)}$ e $\Gamma_\varphi^{(i)}$ são as partes do contorno do corpo (i) $\partial\Omega^{(i)}$ onde a força superficial ($\bar{\mathbf{t}}_t^{(i)}$) e o deslocamento ($\bar{\varphi}_t^{(i)}$) são prescritos. O termo t subscrito é associado a configuração $\varphi_t^{(i)}$ no intervalo de tempo $t = [0, T]$. O termo $\mathbf{P}^{(i)}$ pode ser governado por leis constitutivas elásticas ou inelásticas.

Na formulação fraca das equações globais consideram-se as funções $\varphi^{(i)*} \in U^{(i)}$ para cada corpo (i), onde $U^{(i)}$ são todas as variações admissíveis $\varphi^{(i)*} : \Omega^{(i)} \rightarrow \mathfrak{R}^3$ que satisfazem a condição $\varphi^{(i)*} = 0$ em $\Gamma_\varphi^{(i)}$. Na linearização das variações de g e $\bar{\xi}$ em $\mathbf{X} \in \Gamma^{(1)}$ são considerados os campos perturbados dados a seguir:

$$\varphi_\varepsilon^{(1)} = \varphi^{(1)} + \varepsilon \varphi^{(1)*} \quad (5.27a)$$

$$\varphi_\varepsilon^{(2)} = \varphi^{(2)} + \varepsilon \varphi^{(2)*} \quad (5.27b)$$

Assim, para um dado $\beta(\mathbf{X}, \varphi^{(1)}, \varphi^{(2)})$, para todos os pontos $\mathbf{X} \in \Gamma^{(1)}$, a sua variação linearizada $\delta\beta(\mathbf{X}, \varphi^{(1)}, \varphi^{(2)})$, usando a definição da derivada direcional, é:

$$\delta\beta(\mathbf{X}, \varphi^{(1)}, \varphi^{(2)}) = \frac{d}{d\varepsilon} \beta(\mathbf{X}, \varphi_\varepsilon^{(1)}, \varphi_\varepsilon^{(2)}) \quad \text{para } \varepsilon = 0 \quad (5.28)$$

logo, a variação de g :

$$\begin{aligned}
 \delta g &= \delta \left\{ - \left[\varphi^{(1)}(\mathbf{X}) - \varphi^{(2)}(\bar{\mathbf{Y}}(\mathbf{X})) \right] \cdot \mathbf{v} \right\} \\
 &= \delta \left\{ \left\| \varphi^{(1)}(\mathbf{X}) - \varphi^{(2)}(\bar{\mathbf{Y}}(\mathbf{X})) \right\| \text{sign}(g) \right\} \\
 &= \frac{\text{sign}(g)}{|g|} \left[\varphi^{(1)}(\mathbf{X}) - \varphi^{(2)}(\bar{\mathbf{Y}}) \right] \cdot \left[\varphi^{*(1)}(\mathbf{X}) - \varphi^{*(2)}(\bar{\mathbf{Y}}(\mathbf{X})) - \boldsymbol{\tau}_\alpha \delta \bar{\xi}^\alpha \right] \\
 \delta g &= -\mathbf{v} \cdot \left[\varphi^{*(1)}(\mathbf{X}) - \varphi^{*(2)}(\bar{\mathbf{Y}}(\mathbf{X})) \right] \tag{5.29}
 \end{aligned}$$

O termo que contém $\delta \bar{\xi}^\alpha$ desaparece devido à ortogonalidade existente entre a normal \mathbf{v} e os vetores tangentes $\boldsymbol{\tau}^\alpha$. É conveniente ressaltar que qualquer termo baseado em $\bar{\mathbf{Y}}(\mathbf{X})$, tal como $\varphi_i^{(2)}$, inclui de forma implícita $\bar{\xi}(\mathbf{X})$, tornando-se necessário considerar a sua variação. A coordenada paramétrica $\bar{\xi}$ não pode ser expressa em função das deformações, assim o cálculo da sua variação $\delta \bar{\xi}^\alpha$ é feito de forma implícita como indicado a seguir:

$$\left[\varphi^{(1)}(\mathbf{X}) - \varphi^{(2)}(\bar{\mathbf{Y}}(\mathbf{X})) \right] \cdot \boldsymbol{\tau}_\alpha = 0 \tag{5.30}$$

A expressão (5.30) garante que $\varphi^{(2)}(\bar{\mathbf{Y}}(\mathbf{X}))$ é a projeção de $\varphi^{(1)}(\mathbf{X})$ em $\gamma^{(2)}$, e a sua variação linearizada é dada por:

$$0 = \left\{ \varphi^{*(1)}(\mathbf{X}) - \varphi^{*(2)}(\bar{\mathbf{Y}}(\mathbf{X})) - \boldsymbol{\tau}_\gamma \delta \bar{\xi}^\gamma \right\} \boldsymbol{\tau}_\alpha - g \mathbf{v} \cdot \left\{ \varphi_{,\alpha}^{*(2)}(\bar{\mathbf{Y}}(\mathbf{X})) + \mathbf{e}_{\alpha,\beta}(\bar{\xi}) \delta \bar{\xi}^\beta \right\} \tag{5.31}$$

ou

$$A_{\alpha\beta} \delta \bar{\xi}^\beta = \left\{ \varphi^{*(1)}(\mathbf{X}) - \varphi^{*(2)}(\bar{\mathbf{Y}}(\mathbf{X})) \right\} \cdot \boldsymbol{\tau}_\alpha - g \mathbf{v} \cdot \left\{ \varphi_{,\alpha}^{*(2)}(\bar{\mathbf{Y}}(\mathbf{X})) \right\} \tag{5.32}$$

onde:

$$A_{\alpha\beta} = m_{\alpha\beta} + g \mathbf{v} \cdot \mathbf{e}_{\alpha,\beta}(\bar{\xi}) \tag{5.33}$$

A simplificação da variação $\delta \bar{\xi}^\beta$ para o caso de $g = 0$ é dada a seguir:

$$\delta \bar{\xi}^\beta = \boldsymbol{\tau}^\beta \cdot \left\{ \varphi^{(1)*}(\mathbf{X}) - \varphi^{(2)*}(\bar{\mathbf{Y}}(\mathbf{X})) \right\} \quad (5.34)$$

5.1.6.1 Trabalho Virtual de Contato

Multiplicando a equação de equilíbrio (5.26a) por $\varphi^{(i)*} \in U^{(i)}$, integrando em $\Omega^{(i)}$ e aplicando a integração por partes obtém-se:

$$G^{(i)}(\varphi_t^{(i)}, \varphi^{(i)*}) := \int_{\Omega^{(i)}} \mathbf{P}_t^{(i)} \cdot \text{GRAD} \left[\varphi^{(i)*} \right] d\Omega^{(i)} - \int_{\Omega^{(i)}} \mathbf{f}_t^{(i)} \cdot \varphi^{(i)*} d\Omega^{(i)} - \int_{\Gamma_\sigma^{(i)}} \bar{\mathbf{t}}^{(i)} \cdot \varphi^{(i)*} d\Gamma_\sigma^{(i)} \quad (5.35a)$$

$$= \int_{\Gamma^{(i)}} \bar{\mathbf{t}}^{(i)} \cdot \varphi^{(i)*} d\Gamma^{(i)} \quad (5.35b)$$

A equação acima tem que ser satisfeita por cada corpo durante todo o tempo t . O termo $G^{(i)}(\varphi_t^{(i)}, \varphi^{(i)*})$ representa a soma do trabalho virtual interno e o trabalho virtual das forças aplicadas no corpo (i) , assim:

$$\begin{aligned} G\left(\varphi_t, \varphi^*\right) &:= G^{(1)}(\varphi_t^{(1)}, \varphi^{(2)*}) + G^{(2)}(\varphi_t^{(2)}, \varphi^{(2)*}) \\ &= \int_{\Gamma^{(1)}} \bar{\mathbf{t}}^{(1)} \cdot \varphi^{(1)*} d\Gamma^{(1)} + \int_{\Gamma^{(2)}} \bar{\mathbf{t}}^{(2)} \cdot \varphi^{(2)*} d\Gamma^{(2)} \end{aligned} \quad (5.36)$$

onde φ_t abrange os mapeamentos de ambos os corpos $\varphi_t^{(1)}$ e $\varphi_t^{(2)}$. Idem para φ^* .

O lado direito da expressão (5.36) representa o trabalho virtual referente ao contato, que pode ser representado numa única integral no contorno $\Gamma^{(1)}$. Para cada ponto $\mathbf{X} \in \Gamma^{(1)}$, torna-se necessário que a força de contato induzida no corpo (2) em $\bar{\mathbf{Y}}$ seja igual mas com sentido oposto daquela produzida no corpo (1) em \mathbf{X} ; sendo assim, tem-se:

$$\mathbf{t}_t^{(2)} \left[\bar{\mathbf{Y}}(\mathbf{X}) \right] d\Gamma^{(2)} = -\mathbf{t}_t^{(1)}(\mathbf{X}) d\Gamma^{(1)} \quad (5.37)$$

Adota-se que para um dado instante, em todas as áreas em que ocorre contato, $\Gamma^{(2)}$ é considerado ser indexado por $\mathbf{X} \in \Gamma^{(1)}$ pela identificação dos pontos $\bar{\mathbf{Y}}(\mathbf{X}) \in \Gamma^{(2)}$. Substituindo (5.34) em (5.36), teremos a contribuição do contato, numa única integral em $\Gamma^{(1)}$:

$$G(\varphi_t, \varphi) + G_c(\varphi_t, \varphi) = 0 \quad (5.38)$$

$$G_c(\varphi_t, \varphi) = - \int_{\Gamma^{(1)}} \mathbf{t}_t^{(1)}(\mathbf{X}) \cdot \left\{ \varphi^{(1)}(\mathbf{X}) - \varphi^{(2)} \left[\bar{\mathbf{Y}}(\mathbf{X}) \right] \right\} d\Gamma^{(1)} \quad (5.39)$$

$$\begin{aligned} G_c(\varphi_t, \varphi) &= - \int_{\Gamma^{(1)}} \left[t_N \mathbf{v} - t_{T\alpha} \boldsymbol{\tau}^\alpha \right] \cdot \left[\varphi^{(1)}(\mathbf{X}) - \varphi^{(2)} \left(\bar{\mathbf{Y}}(\mathbf{X}) \right) \right] d\Gamma^{(1)} \\ &= \int_{\Gamma^{(1)}} \left[t_{N_t} \delta g - t_{T\alpha_t} \delta \bar{\xi}^\alpha \right] d\Gamma^{(1)} \end{aligned} \quad (5.40)$$

onde as forças superficiais de contato são dadas nas equações (5.19) e (5.20). Esta formulação do trabalho virtual de contato é obtida diretamente da forma forte das equações, isto é possível devido à estrutura geométrica das restrições de contato.

Na determinação de (5.40), foi utilizada (5.34) em lugar de (5.32) para definir $\bar{\xi}^\alpha$. Considerando a solução, (5.38) tem que satisfazer as restrições de contato, a folga g tem que ser igual a zero em todos os pontos onde o integrando de (4.40) é diferente de zero.

5.1.6.2 Linearização do Trabalho Virtual de Contato

A solução implícita da equação não-linear (5.38) requer a linearização das equações governantes. A linearização do trabalho virtual de contato G_c , pode ser obtida no contínuo, somente com a parcela da rigidez do atrito, baseada em algoritmos para a obtenção das forças superficiais de contato.

Assim como a primeira linearização (direcionada para φ) de $\beta(\mathbf{X}; \varphi)$ foi definida como $\delta\beta(\mathbf{X}; \varphi)$ assim a segunda derivada (direcionada para \mathbf{u}) é

definida como $\Delta\beta(\mathbf{X};\varphi)$. O cálculo da derivada de (5.40) torna-se fácil, devido ao fato que a integral é computada na configuração de referência. Somente o integrando varia com o movimento. Analisando os termos do contato normal, a derivada direcional de t_N é dada por:

$$\begin{aligned}\Delta t_N &= \Delta\{\varepsilon_N\langle g \rangle\} \\ &= \varepsilon_N \frac{\partial\langle g \rangle}{\partial g} \Delta g \\ \Delta t_N &= H(g)\varepsilon_N \Delta g\end{aligned}\quad (5.41)$$

onde $H(g)$, é a função Heaviside: $H(g) = 1$ se $g > 0$ ou $H(g) = 0$ se $g < 0$; a derivada não é definida quando $g = 0$. A expressão para Δg é dada por:

$$\begin{aligned}\Delta g &= -\mathbf{v} \cdot \left[\mathbf{u}^{(i)}(\mathbf{X}) - \mathbf{u}^{(2)*}(\bar{\mathbf{Y}}(\mathbf{X})) \right] \mathbf{e} \Delta(\delta g): \\ \Delta(\delta g) &= g\mathbf{v} \cdot \left\{ \varphi_{,\gamma}^{(2)*}[\bar{\mathbf{Y}}(\mathbf{X})] + \mathbf{e}_{\gamma,\alpha}(\bar{\xi})\delta\bar{\xi}^\alpha \right\} m^{\gamma\beta} \mathbf{v} \cdot \left\{ \mathbf{u}_{,\beta}^{(2)}[\bar{\mathbf{Y}}(\mathbf{X})] + \mathbf{e}_{\beta,\alpha}(\bar{\xi})\Delta\bar{\xi}^\alpha \right\} + \delta\bar{\xi}^\beta \mathbf{v} \cdot \left\{ \mathbf{u}_{,\beta}^{(2)}[\bar{\mathbf{Y}}(\mathbf{X})] \right\} \\ &+ \Delta\bar{\xi}^\beta \cdot \left\{ \varphi_{,\beta}^{(2)*}[\bar{\mathbf{Y}}(\mathbf{X})] \right\} + \mathbf{v} \cdot \mathbf{e}_{\beta,\alpha}(\bar{\xi})\delta\bar{\xi}^\beta \Delta\bar{\xi}^\alpha\end{aligned}\quad (5.42)$$

onde $\Delta\bar{\xi}^\beta$ é obtida da expressão:

$$A_{\alpha\beta}\Delta\bar{\xi}^\gamma = \left\{ \mathbf{u}^{(1)}(\mathbf{X}) - \mathbf{u}^{(2)}(\bar{\mathbf{Y}}(\mathbf{X})) \right\} \cdot \boldsymbol{\tau}_\alpha - g\mathbf{v} \cdot \left\{ \mathbf{u}_{,\alpha}^{(2)}(\bar{\mathbf{Y}}(\mathbf{X})) \right\} \quad \text{onde } A_{\alpha\beta} \text{ é dada por}$$

(5.33). Portanto, a expressão para $\Delta(t_N \delta g)$:

$$\Delta(t_N \delta g) = \Delta(t_N) \delta g + t_N \Delta(\delta g) \quad (5.43)$$

Na linearização dos termos de contato com atrito, o cálculo de Δt_T , vai depender do algoritmo usado para integrar as equações (5.20). A contribuição permanente (geométrica) da linearização do atrito é dada pelo termo $\Delta\left(\delta\bar{\xi}^\alpha\right)$,

calculado de forma implícita, através da derivada direcional:

$$\begin{aligned}A_{\alpha\beta}\Delta\left(\delta\bar{\xi}^\beta\right) &= -\boldsymbol{\tau}_\alpha \cdot \varphi_{,\beta}^{(2)*}(\bar{\mathbf{Y}})\Delta\bar{\xi}^\alpha - \boldsymbol{\tau}_\alpha \cdot \mathbf{u}_{,\beta}^{(2)}(\bar{\mathbf{Y}})\delta\bar{\xi}^\alpha - \left[\mathbf{t}_\alpha \cdot \mathbf{e}_{\beta,\gamma}(\bar{\xi}) + g\mathbf{v} \cdot \mathbf{e}_{\alpha,\beta\gamma}(\bar{\xi}) \right] \delta\bar{\xi}^\beta \Delta\bar{\xi}^\gamma \\ &- \delta\bar{\xi}^\beta \mathbf{t}_\beta \cdot \left[\mathbf{u}_{,\alpha}^{(2)}(\bar{\mathbf{Y}}(\mathbf{X})) + \mathbf{e}_{\alpha,\gamma}(\bar{\xi})\Delta\bar{\xi}^\gamma \right] - \Delta\bar{\xi}^\beta \mathbf{t}_\beta \cdot \left[\varphi_{,\alpha}^{(2)*}(\bar{\mathbf{Y}}(\mathbf{X})) + \mathbf{e}_{\alpha,\gamma}(\bar{\xi})\delta\bar{\xi}^\gamma \right]\end{aligned}$$

$$\begin{aligned}
 & - \mathbf{g}\mathbf{v} \cdot \left[\varphi_{,\alpha\beta}^{*(2)}(\bar{\mathbf{Y}}(\mathbf{X})) \Delta \bar{\xi}^{\beta} - \mathbf{u}_{,\alpha\beta}^{(2)}(\bar{\mathbf{Y}}(\mathbf{X})) \delta \bar{\xi}^{\alpha} \right] + \left[\varphi^{*(1)}(\mathbf{X}) - \varphi^{*(2)}(\bar{\mathbf{Y}}(\mathbf{X})) \right] \cdot \left[\mathbf{u}_{,\alpha}^{(2)}(\bar{\mathbf{Y}}(\mathbf{X})) + \mathbf{e}_{\alpha,\gamma}(\bar{\xi}) \Delta \bar{\xi}^{\gamma} \right] \\
 & + \left[\mathbf{u}^{(1)}(\mathbf{X}) - \mathbf{u}^{(2)}(\bar{\mathbf{Y}}(\mathbf{X})) \right] \cdot \left[\varphi_{,\alpha}^{*(2)}(\bar{\mathbf{Y}}(\mathbf{X})) + \mathbf{e}_{\alpha,\gamma}(\bar{\xi}) \delta \bar{\xi}^{\gamma} \right]
 \end{aligned} \tag{5.44}$$

onde $A_{\alpha\beta}$ é dado pela expressão (5.33). Pode-se verificar que a equação (5.44) é também simétrica em relação a φ e \mathbf{u} . Portanto, a linearização do trabalho virtual de contato devido ao atrito é:

$$\begin{aligned}
 \Delta G_c(\varphi_t, \varphi^*) &= \Delta \left\{ \int_{\Gamma^{(1)}} \left[t_N \delta \mathbf{g} + t_{T_\alpha} \delta \bar{\xi}^\alpha \right] d\Gamma^{(1)} \right\} \\
 &= \int_{\Gamma^{(1)}} \left[\Delta(t_N \delta \mathbf{g}) + \Delta t_{T_\alpha} \delta \bar{\xi}^\alpha + t_{T_\alpha} \Delta(\delta \bar{\xi}^\alpha) \right] d\Gamma^{(1)}
 \end{aligned} \tag{5.45}$$

a não-simetria da linearização do PTV referente ao atrito provém do termo $\Delta t_{T_\alpha} \delta \bar{\xi}^\alpha$.

5.2 Implementação da Formulação em Elementos Finitos: Método da Penalidade

Na discretização em elementos finitos são utilizados $\varphi^{(i)h}$ e $\varphi^{(i)h*}$ em contrapartida a $\varphi^{(i)}$ e $\varphi^{(i)*}$. Os mapeamentos $\varphi^{(i)h}$ e $\varphi^{(i)h*}$ são um conjunto de mapeamentos locais, definidos sobre a superfície de cada elemento, $\varphi_e^{(1)h}(\boldsymbol{\eta})$ com $\boldsymbol{\eta} \in A_e^{(1)h}$, cuja expressão é dada a seguir.

$$\varphi_e^{(1)h}(\boldsymbol{\eta}) = \sum_{a=1}^{n_e} N^a(\boldsymbol{\eta}) \varphi_a^{(1)} \tag{5.46}$$

onde $\varphi_{(a)}^1$ é o valor nodal de $\varphi^{(1)h}$, e n_e é o número de nós em cada superfície do elemento. $N^a(\boldsymbol{\eta})$, representa a função de forma isoparamétrica padrão. Da mesma forma é feita a interpolação de $\varphi^{(1)*}$. Usando o esquema de interpolação isoparamétrica, pode-se obter também:

$$\mathbf{X}_e^h(\boldsymbol{\eta}) = \sum_{a=1}^{n_e} N^a(\boldsymbol{\eta}) \mathbf{X}_a \quad (5.47)$$

Da forma análoga a (5.46) e (5.47) pode ser obtida para o corpo (2).

Assim, o trabalho virtual de contato na forma discretizada pode ser expresso como a seguir:

$$G_c\left(\varphi_t^h, \varphi^h\right) = \int_{\Gamma^{(1)h}} \left[t_N^h \delta g^h + t_T^h \delta \xi^{\bar{\alpha}h} \right] d\Gamma^{(1)h} \quad (5.48)$$

A equação (5.48) pode ser escrita como um somatório das integrais nas superfícies dos n_{el} elementos em $\Gamma^{(1)h}$:

$$G_c\left(\varphi_t^h, \varphi^h\right) = \sum_{j=1}^{n_{el}} \int_{\Gamma_{ej}^{(1)h}} \left[t_N^h \delta g^h + t_T^h \delta \xi^{\bar{\alpha}h} \right] d\Gamma_{ej}^{(1)h} \quad (5.49)$$

onde cada sub-integral acima é avaliada usando uma quadratura adequada. Assim, aplicando a regra de quadratura e realizando a mudança de variáveis para o domínio padrão (parametrização: $A_e^{(1)h}$) obtém-se:

$$\begin{aligned} G_c\left(\varphi_t^h, \varphi^h\right) &\approx \sum_{j=1}^{n_{el}} \left\{ \sum_{k=1}^{n_{int}} W^k j(\boldsymbol{\eta}^k) \left[t_N^h(\boldsymbol{\eta}^k) \delta g^h(\boldsymbol{\eta}^k) + t_{T_\alpha}^h(\boldsymbol{\eta}^k) \delta \xi^{\bar{\alpha}h}(\boldsymbol{\eta}^k) \right] \right\} \\ &= \sum_{j=1}^{n_{el}} \left\{ \sum_{k=1}^{n_{int}} W^k j(\boldsymbol{\eta}^k) \delta \boldsymbol{\Phi}_c^k \cdot \mathbf{R}_c^k \right\} \end{aligned} \quad (5.50)$$

onde n_{int} é o número de pontos de integração para a superfície de cada elemento de $\Gamma^{(1)h}$, que depende da regra de quadratura usada; W^k é o peso da quadratura correspondente ao ponto local da quadratura k ; $j(\boldsymbol{\eta}^k)$ é o jacobiano da transformação em relação ao domínio de referência; $\delta \boldsymbol{\Phi}_c^k$ é o vetor das variações nodais correspondente ao ponto k da quadratura e \mathbf{R}_c^k é o vetor residual para o ponto k da quadratura. Os termos $\delta g^h(\boldsymbol{\eta}^k)$ e $\delta \xi^{\bar{\alpha}h}(\boldsymbol{\eta}^k)$ são obtidos usando as expressões (5.29) e (5.34), com seus correspondentes campos discretos.

Através da linearização de (5.50) obtém-se a rigidez de contato necessária para a solução de (5.38) pelo método de Newton-Raphson. Esta linearização se obtém através da aplicação da quadratura a (5.45), isto porque a definição de G_c envolve uma integral na configuração de referência, assim tem-se:

$$\Delta G_c(\varphi^h, \varphi^{h*}) \approx \sum_{j=1}^{n_{el}} \left\{ \sum_{k=1}^{n_{int}} W^k j(\boldsymbol{\eta}^k) \left[\Delta [t_N^h(\boldsymbol{\eta}^k) \delta g^h(\boldsymbol{\eta}^k)] + \Delta t_{T_a}^h(\boldsymbol{\eta}^k) \delta \xi^{\bar{\alpha}^h}(\boldsymbol{\eta}^k) + t_{T_a}^h(\boldsymbol{\eta}^k) \Delta \left[\delta \xi^{\bar{\alpha}^h}(\boldsymbol{\eta}^k) \right] \right] \right\}$$

$$\Delta G_c(\varphi^h, \varphi^{h*}) = \sum_{j=1}^{n_{el}} \left\{ \sum_{k=1}^{n_{int}} W^k j(\boldsymbol{\eta}^k) \delta \Phi_c^k \cdot \mathbf{K}_c^k \Delta \Phi_c^k \right\} \quad (5.51)$$

onde: \mathbf{K}_c^k é matriz de rigidez de contato; os termos $\Delta [t_N^h(\boldsymbol{\eta}^k) \delta g^h(\boldsymbol{\eta}^k)]$ e

$\Delta \left[\delta \xi^{\bar{\alpha}^h}(\boldsymbol{\eta}^k) \right]$ são dados por (5.43) e (5.44), com suas respectivos componentes

discretos. O vetor $\Delta \Phi_c^k$ contém os valores nodais de \mathbf{u}^h , que é a representação em elementos finitos de \mathbf{u} . O termo $\Delta t_T^h(\boldsymbol{\eta}^k)$ é obtido pelo algoritmo de retorno.

Adota-se a quadratura nodal para definir (5.50) e (5.51), e o elemento sólido híbrido Enhanced Assumed Strain – EAS (Roehl & Ramm, 1996) de oito (8) nós (BRICK8-E3) é usado para a discretização em elementos finitos. Devido ao fato que a contribuição total de contato é a soma das contribuições individuais de cada ponto da quadratura, enfoca-se a um ponto da quadratura a definição da matriz de rigidez \mathbf{K}_c e do vetor residual \mathbf{R}_c .

A posição corrente do ponto da quadratura (escravo) é definido como sendo \mathbf{x} e a superfície mestre contém a sua projeção $\bar{\mathbf{y}}$ em $\gamma^{(2)^h}$ definido no elemento como $\gamma_e^{(2)^h}$. Adota-se que $\bar{\mathbf{y}}$ encontra-se no interior contínuo da superfície do elemento $\gamma_e^{(2)^h}$ (ver Fig. 5-4).

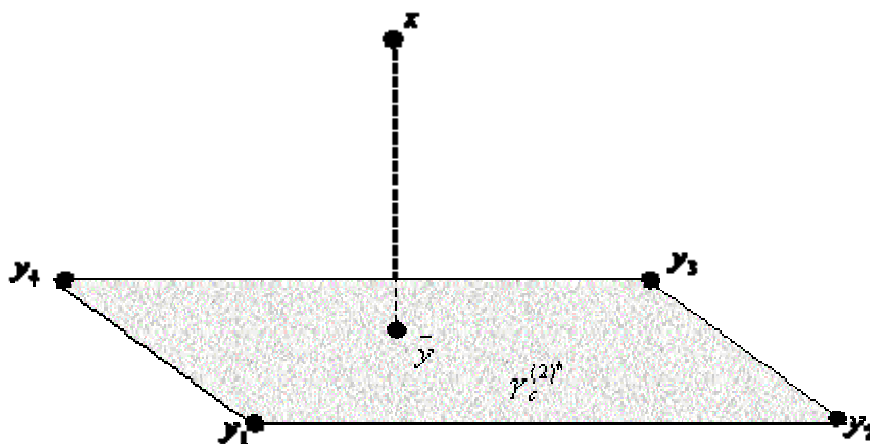


Figura 5.4 – Definição do ponto escravo e da superfície mestre em 3D

Considerando que a quadratura nodal está sendo usada, o ponto de quadratura escravo é de fato o nó escravo. Assim, $\delta\Phi$ é vetor que contém as variações deste nó escravo ($\varphi^{(1)*}(\mathbf{X})$) e as variações dos nós da superfície mestre em $\gamma_e^{(2)h}(\varphi^{(2)*}(\mathbf{Y}), a = 1-4)$. Logo, os vetores das variações são dados a seguir:

$$\delta\Phi = \begin{bmatrix} \varphi^{(1)*}(\mathbf{X}) \\ \varphi^{(2)*}(\mathbf{Y}_1) \\ \varphi^{(2)*}(\mathbf{Y}_2) \\ \varphi^{(2)*}(\mathbf{Y}_3) \\ \varphi^{(2)*}(\mathbf{Y}_4) \end{bmatrix} \quad \Delta\Phi = \begin{bmatrix} \mathbf{u}^{(1)}(\mathbf{X}) \\ \mathbf{u}^{(2)}(\mathbf{Y}_1) \\ \mathbf{u}^{(2)}(\mathbf{Y}_2) \\ \mathbf{u}^{(2)}(\mathbf{Y}_3) \\ \mathbf{u}^{(2)}(\mathbf{Y}_4) \end{bmatrix} \quad (5.52)$$

A seguir são definidos os vetores que são usados nas expressões da matriz de rigidez e do vetor residual para o contato com atrito:

$$\mathbf{N} = \begin{bmatrix} \mathbf{v} \\ -N_1(\bar{\xi})\mathbf{v} \\ -N_2(\bar{\xi})\mathbf{v} \\ -N_3(\bar{\xi})\mathbf{v} \\ -N_4(\bar{\xi})\mathbf{v} \end{bmatrix} \quad \mathbf{T}_\alpha = \begin{bmatrix} \boldsymbol{\tau}_\alpha \\ -N_1(\bar{\xi})\boldsymbol{\tau}_\alpha \\ -N_2(\bar{\xi})\boldsymbol{\tau}_\alpha \\ -N_3(\bar{\xi})\boldsymbol{\tau}_\alpha \\ -N_4(\bar{\xi})\boldsymbol{\tau}_\alpha \end{bmatrix} \quad \mathbf{N}_\alpha = \begin{bmatrix} 0 \\ -N_{1,\alpha}(\bar{\xi})\mathbf{v} \\ -N_{2,\alpha}(\bar{\xi})\mathbf{v} \\ -N_{3,\alpha}(\bar{\xi})\mathbf{v} \\ -N_{4,\alpha}(\bar{\xi})\mathbf{v} \end{bmatrix} \quad (5.53)$$

onde $\alpha = 1,2$ para as definições de \mathbf{T}_α e \mathbf{N}_α ; $N_a, a = 1,4$, representa as funções de forma isoparamétricas que definem a superfície mestre ($\gamma_e^{(2)h}$). Os vetores definidos a seguir dependem das definições acima (5.53):

$$\mathbf{D}_1 = \frac{1}{\det[\mathbf{A}]} [A_{22}(\mathbf{T}_1 + g\mathbf{N}_1) - A_{12}(\mathbf{T}_2 + g\mathbf{N}_2)] \quad (5.54a)$$

$$\mathbf{D}_2 = \frac{1}{\det[\mathbf{A}]} [A_{11}(\mathbf{T}_2 + g\mathbf{N}_2) - A_{12}(\mathbf{T}_1 + g\mathbf{N}_1)] \quad (5.54b)$$

$$\bar{\mathbf{N}}_1 = \mathbf{N}_1 - (\mathbf{e}_{1,2}(\bar{\xi}) \cdot \mathbf{v})\mathbf{D}_2 \quad (5.54c)$$

$$\bar{\mathbf{N}}_2 = \mathbf{N}_2 - (\mathbf{e}_{1,2}(\bar{\xi}) \cdot \mathbf{v})\mathbf{D}_1 \quad (5.54d)$$

E a matriz \mathbf{A} é dada em (5.33). Comparando os vetores acima com a expressão (5.50) torna-se fácil obter a expressão para \mathbf{R}_c :

$$\mathbf{R}_c = t_N \mathbf{N} + t_{T_1} \mathbf{D}_1 + t_{T_2} \mathbf{D}_2 \quad (5.55)$$

onde as equações para t_N e t_{T_α} são dadas por (5.23) e (5.24). A rigidez de contato é decomposta em uma parcela de rigidez normal e outra de rigidez tangencial:

$$\mathbf{K}_c = \mathbf{K}_{c_N} + \mathbf{K}_{c_T} \quad (5.56)$$

onde as expressões para \mathbf{K}_{c_N} e \mathbf{K}_{c_T} são extraídas de (5.51), (5.43), (5.44) e (5.25). Assim, a rigidez normal é:

$$\begin{aligned} K_{c_N} = & \varepsilon_N H(g) \mathbf{N} \mathbf{N}^T + t_N \left\{ g \left[m^{11} \bar{\mathbf{N}}_1 \bar{\mathbf{N}}_1^T + m^{12} \left(\bar{\mathbf{N}}_1 \bar{\mathbf{N}}_2^T + \bar{\mathbf{N}}_2 \bar{\mathbf{N}}_1^T \right) + m^{22} \bar{\mathbf{N}}_2 \bar{\mathbf{N}}_2^T \right] \right. \\ & \left. + t_N \left\{ -\mathbf{D}_1 \mathbf{N}_1^T - \mathbf{D}_2 \mathbf{N}_2^T - \mathbf{N}_1 \mathbf{D}_1^T - \mathbf{N}_2 \mathbf{D}_2^T + \left(\mathbf{e}_{1,2}(\bar{\xi}) \cdot \mathbf{v} \right) \left(\mathbf{D}_1 \mathbf{D}_2^T + \mathbf{D}_2 \mathbf{D}_1^T \right) \right\} \right\} \end{aligned} \quad (5.57)$$

Para se obter a rigidez tangencial torna-se necessário definir também os termos a seguir:

$$\mathbf{T}_{\alpha\beta} = \begin{bmatrix} 0 \\ -N_{1,\beta}(\bar{\xi}) \boldsymbol{\tau}_\alpha \\ -N_{2,\beta}(\bar{\xi}) \boldsymbol{\tau}_\alpha \\ -N_{3,\beta}(\bar{\xi}) \boldsymbol{\tau}_\alpha \\ -N_{4,\beta}(\bar{\xi}) \boldsymbol{\tau}_\alpha \end{bmatrix} \quad \mathbf{N}_{\alpha\beta} = \begin{bmatrix} 0 \\ -N_{1,\alpha\beta}(\bar{\xi}) \mathbf{v} \\ -N_{2,\alpha\beta}(\bar{\xi}) \mathbf{v} \\ -N_{3,\alpha\beta}(\bar{\xi}) \mathbf{v} \\ -N_{4,\alpha\beta}(\bar{\xi}) \mathbf{v} \end{bmatrix} \quad \mathbf{P}_\alpha = \begin{bmatrix} 0 \\ -N_{1,\alpha}(\bar{\xi}) \mathbf{p}_T \\ -N_{2,\alpha}(\bar{\xi}) \mathbf{p}_T \\ -N_{3,\alpha}(\bar{\xi}) \mathbf{p}_T \\ -N_{4,\alpha}(\bar{\xi}) \mathbf{p}_T \end{bmatrix} \quad (5.58)$$

onde $\alpha, \beta = 1, 2$ e $p_T = \frac{t_T^{b^{trial}}}{\|\mathbf{t}_{T_{n+1}}^{b^{trial}}\|}$, discutido no *item* (5.5). Neste caso, onde a

superfície mestre é definida por funções de interpolação bi-linear, os termos \mathbf{N}_{11} e \mathbf{N}_{22} são iguais a zero. Baseado nisto definem-se os termos a seguir:

$$\bar{\mathbf{T}}_{\alpha 1} = \mathbf{T}_{\alpha 1} - \left(\mathbf{e}_{1,2}(\bar{\xi}) \cdot \boldsymbol{\tau}_\alpha \right) \mathbf{D}_2 \quad (5.59a)$$

$$\bar{\mathbf{T}}_{\alpha 2} = \mathbf{T}_{\alpha 2} - \left(\mathbf{e}_{1,2}(\bar{\xi}) \cdot \boldsymbol{\tau}_\alpha \right) \mathbf{D}_1 \quad (5.59b)$$

$$\bar{\mathbf{P}}_1 = \mathbf{P}_1 - \left(\mathbf{e}_{1,2}(\bar{\xi}) \cdot \mathbf{p}_T \right) \mathbf{D}_2 \quad (5.59c)$$

$$\bar{\mathbf{P}}_2 = \mathbf{P}_2 - \left(\mathbf{e}_{1,2}(\bar{\xi}) \cdot \mathbf{p}_T \right) \mathbf{D}_1 \quad (5.59d)$$

logo, teremos a expressão de \mathbf{K}_{c_T} :

$$\mathbf{K}_{c_T} = \mathbf{K}_{c_T}^{direta} + [t_{T_1} A^{11} + t_{T_2} A^{12}] \mathbf{K}_{c_{T1}} + [t_{T_1} A^{12} + t_{T_2} A^{22}] \mathbf{K}_{c_{T2}} \quad (5.60)$$

onde:

$$\begin{aligned} \mathbf{K}_{c_{T1}} = & \mathbf{T}_{11} \mathbf{D}_1^T + \mathbf{T}_{12} \mathbf{D}_2^T + \mathbf{D}_1 \mathbf{T}_{11}^T + \mathbf{D}_2 \mathbf{T}_{12}^T - \left(\mathbf{e}_{1,2}(\bar{\xi}) \cdot \boldsymbol{\tau}_1 \right) \left(\mathbf{D}_1 \mathbf{D}_2^T + \mathbf{D}_2 \mathbf{D}_1^T \right) \\ & + \bar{\mathbf{T}}_{11} \mathbf{D}_1^T + \bar{\mathbf{T}}_{21} \mathbf{D}_2^T + \mathbf{D}_1 \bar{\mathbf{T}}_{11}^T + \mathbf{D}_2 \bar{\mathbf{T}}_{21}^T + \mathbf{g} \left(\mathbf{N}_{12} \mathbf{D}_2^T + \mathbf{D}_2 \mathbf{N}_{12}^T \right) \\ & - \mathbf{N} \bar{\mathbf{N}}_1^T - \mathbf{T}_1 \left(m^{11} \bar{\mathbf{T}}_{11} + m^{12} \bar{\mathbf{T}}_{21} \right)^T - \mathbf{T}_2 \left(m^{21} \bar{\mathbf{T}}_{11} + m^{22} \bar{\mathbf{T}}_{21} \right)^T \\ & - \bar{\mathbf{N}}_1^T \mathbf{N} - \left(m^{11} \bar{\mathbf{T}}_{11} + m^{12} \bar{\mathbf{T}}_{21} \right) \mathbf{T}_1^T - \left(m^{21} \bar{\mathbf{T}}_{11} + m^{22} \bar{\mathbf{T}}_{21} \right) \mathbf{T}_2^T \end{aligned} \quad (5.61)$$

$$\begin{aligned} \mathbf{K}_{c_{T2}} = & \mathbf{T}_{21} \mathbf{D}_1^T + \mathbf{T}_{22} \mathbf{D}_2^T + \mathbf{D}_1 \mathbf{T}_{21}^T + \mathbf{D}_2 \mathbf{T}_{22}^T - \left(\mathbf{e}_{1,2}(\bar{\xi}) \cdot \boldsymbol{\tau}_2 \right) \left(\mathbf{D}_1 \mathbf{D}_2^T + \mathbf{D}_2 \mathbf{D}_1^T \right) \\ & + \bar{\mathbf{T}}_{12} \mathbf{D}_1^T + \bar{\mathbf{T}}_{22} \mathbf{D}_2^T + \mathbf{D}_1 \bar{\mathbf{T}}_{12}^T + \mathbf{D}_2 \bar{\mathbf{T}}_{22}^T + \mathbf{g} \left(\mathbf{N}_{21} \mathbf{D}_1^T + \mathbf{D}_1 \mathbf{N}_{21}^T \right) \\ & - \mathbf{N} \bar{\mathbf{N}}_2^T - \mathbf{T}_1 \left(m^{11} \bar{\mathbf{T}}_{12} + m^{12} \bar{\mathbf{T}}_{22} \right)^T - \mathbf{T}_2 \left(m^{21} \bar{\mathbf{T}}_{12} + m^{22} \bar{\mathbf{T}}_{22} \right)^T \\ & - \bar{\mathbf{N}}_2^T \mathbf{N} - \left(m^{11} \bar{\mathbf{T}}_{12} + m^{12} \bar{\mathbf{T}}_{22} \right) \mathbf{T}_1^T - \left(m^{21} \bar{\mathbf{T}}_{12} + m^{22} \bar{\mathbf{T}}_{22} \right) \mathbf{T}_2^T \end{aligned} \quad (5.62)$$

A parcela $\mathbf{K}_{c_T}^{direta}$ depende se prevalece a aderência ou o deslizamento.

Para o caso com aderência:

$$\begin{aligned} \mathbf{K}_{c_T}^{direta} = & \varepsilon_T \left[M_{11} \mathbf{D}_1 \mathbf{D}_1^T + M_{12} \left(\mathbf{D}_1 \mathbf{D}_2^T + \mathbf{D}_2 \mathbf{D}_1^T \right) + M_{22} \mathbf{D}_2 \mathbf{D}_2^T + k_1 g_T^2 \mathbf{D}_1 \mathbf{D}_1^T + \left(2k_1 g_T^1 + k_2 g_T^2 \right) \mathbf{D}_1 \mathbf{D}_2^T \right] \\ & + \varepsilon_T \left[\left(2k_2 g_T^2 + k_1 g_T^1 \right) \mathbf{D}_2 \mathbf{D}_1^T + k_2 g_T^1 \mathbf{D}_2 \mathbf{D}_2^T \right] \end{aligned} \quad (5.63)$$

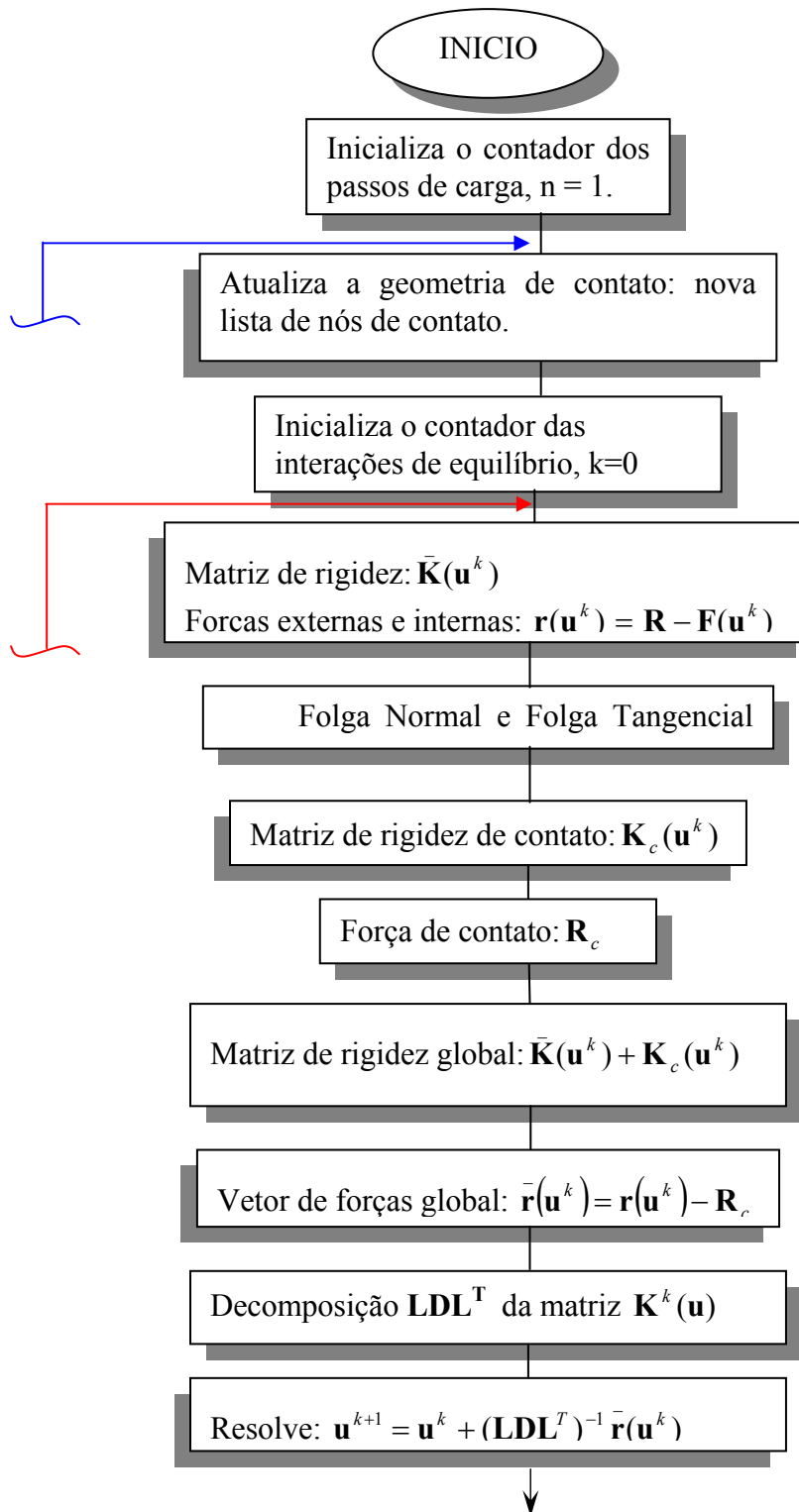
onde: $g_T^\alpha = \xi_{n+1}^\alpha - \xi_n^\alpha$ e $k_\alpha = \mathbf{E}_{1,2}(\bar{\xi}) \cdot \mathbf{T}_\alpha$

Para o caso com deslizamento:

$$\begin{aligned} \mathbf{K}_{c_T}^{direta} = & \mu \varepsilon_N H(\mathbf{g}) \left[p_{T1} \mathbf{D}_1 + p_{T2} \mathbf{D}_2 \right] \mathbf{N}^T \\ & + \frac{\varepsilon_T \mu \mathbf{U}_N}{\|\boldsymbol{\tau}_T^{trial}\|} \left\{ \left[\left(1 - p_T^1 p_{T1} \right) \left(M_{11} + k_1 g_T^2 \right) - p_T^2 p_{T1} \left(M_{12} + 2k_2 g_T^2 + k_1 g_T^1 \right) \right] \mathbf{D}_1 \mathbf{D}_1^T \right\} \\ & + \frac{\varepsilon_T \mu \mathbf{U}_N}{\|\boldsymbol{\tau}_T^{trial}\|} \left\{ \left[\left(1 - p_T^2 p_{T2} \right) \left(M_{12} + 2k_2 g_T^2 + k_1 g_T^1 \right) - p_T^1 p_{T2} \left(M_{11} + k_1 g_T^2 \right) \right] \mathbf{D}_2 \mathbf{D}_1^T \right\} \end{aligned}$$

$$\begin{aligned}
 & + \frac{\varepsilon_T \mu_N}{\|\boldsymbol{\tau}_T^{trial}\|} \left\{ \left[(1 - p_T^1 p_{T_2}) (M_{12} + 2k_1 g_T^1 + k_2 g_T^2) - p_T^2 p_{T_2} (M_{22} + k_2 g_T^1) \right] \mathbf{D}_1 \mathbf{D}_2^T \right\} \\
 & + \frac{\varepsilon_T \mu_N}{\|\boldsymbol{\tau}_T^{trial}\|} \left\{ \left[(1 - p_T^2 p_{T_2}) (M_{22} + k_2 g_T^1) - p_T^1 p_{T_2} (M_{12} + 2k_1 g_T^1 + k_2 g_T^2) \right] \mathbf{D}_2 \mathbf{D}_2^T \right\} \\
 & - \mu_N \left[p_T^1 p_{T_1} \mathbf{D}_1 \bar{\mathbf{P}}_1^T + p_T^1 p_{T_2} \mathbf{D}_2 \bar{\mathbf{P}}_1^T + p_T^2 p_{T_2} \mathbf{D}_1 \bar{\mathbf{P}}_2^T + p_T^2 p_{T_2} \mathbf{D}_2 \bar{\mathbf{P}}_2^T \right] \quad (5.64)
 \end{aligned}$$

5.3 Fluxograma do Método da Penalidade: PC com atrito



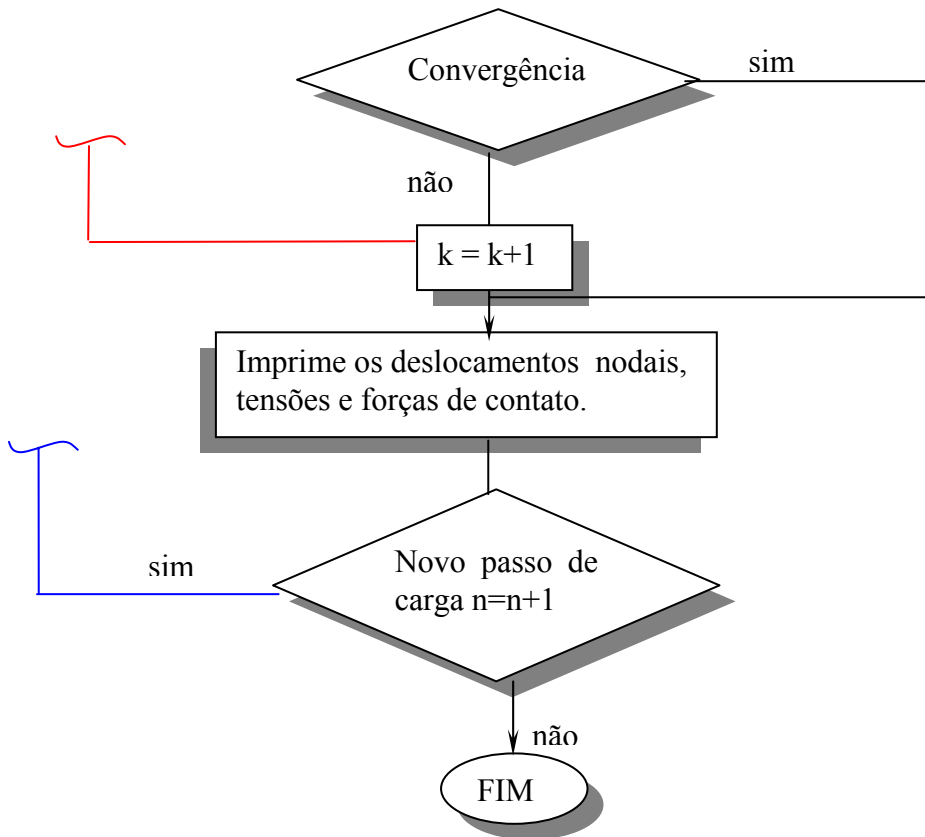


Figura 5.5 – Fluxograma do Método da Penalidade: PC com atrito